

## Геликон-фононный резонанс в висмуте

© В.Г. Скобов, А.С. Чернов\*

Физико-технический институт им. А.Ф. Иоффе Российской академии наук,  
194021 Санкт-Петербург, Россия

\* Московский государственный инженерно-физический институт,  
115409 Москва, Россия

E-mail: chernov@theor.mephi.ru

(Поступила в Редакцию 11 апреля 2005 г.)

Показано, что в висмуте возможен геликон-фононный резонанс. Он должен иметь место в диапазоне коротких радиоволн в геометрии, когда постоянное магнитное поле  $\mathbf{H}$  направлено вдоль биссекторной оси кристалла, ориентированной по нормали к поверхности пластины. Резонанс обусловлен деформационным взаимодействием дырок со звуковой волной. Резонанс происходит в сравнительно слабых магнитных полях порядка десятков эрстед в ситуации, в которой пространственная неоднородность волнового поля несущественна для электронов, но важна для дырок.

PACS: 63.20.Kr, 72.15.Eb, 72.50.+b

1. В работе [1] было показано, что в висмуте возможно распространение геликонов в диапазоне коротких радиоволн. В геометрии, когда постоянное магнитное поле  $\mathbf{H}$  и нормаль к поверхности пластины висмута направлены вдоль биссекторной оси кристалла, реализуется ситуация, в которой неоднородность волнового поля несущественна для электронов, но важна для дырок. В этой ситуации в висмуте возможно распространение геликонной волны, спектр которой определяется локальной холловской проводимостью электронов, а затухание — бесстолкновительным поглощением дырками. Фазовая скорость этой волны невелика, причем ее величина пропорциональна  $\sqrt{H}$ . Изменяя  $H$ , скорость геликона можно сделать равной скорости звука в кристалле. При этом будет происходить резонансное связывание геликонной и звуковой волн, а также их взаимная трансформация. Теории геликон-фононного резонанса в висмуте и посвящена настоящая работа.

2. Распространение волн в металле описывается уравнениями Максвелла и уравнениями колебаний решетки, которые связаны между собой благодаря взаимодействию электронов проводимости со звуком и электромагнитным полем. Эти уравнения имеют вид [2]

$$\text{rot rot } \mathbf{E} = -\frac{4\pi}{c^2} \frac{\partial \mathbf{j}}{\partial t}, \quad (1)$$

$$\rho \frac{\partial^2 u_\alpha}{\partial t^2} = \lambda_{\alpha\beta\gamma\delta} \frac{\partial^2 u_\delta}{\partial x_\beta \partial x_\gamma} + f_\alpha. \quad (2)$$

Здесь  $\mathbf{E}(\mathbf{r}, t)$  — электрическое поле в точке  $\mathbf{r}$  в момент  $t$ ;  $\mathbf{j}(\mathbf{r}, t)$  — плотность тока;  $\mathbf{u}(\mathbf{r}, t)$  — вектор смещения в звуковой волне;  $\rho$  — плотность металла;  $\hat{\lambda}$  — тензор модулей упругости;  $c$  — скорость света;  $\mathbf{f}$  — объемная плотность силы, действующей со стороны носителей на решетку; по дважды встречающимся индексам производится суммирование. В уравнениях Максвелла мы исключили переменное магнитное поле и пренебрегли током смещения. Векторы  $\mathbf{j}$  и  $\mathbf{f}$  должны быть найдены из кинетического уравнения для функции распределения

носителей, в котором учитывается их взаимодействие с электрическим и звуковым полями. Вообще говоря, имеется три различных члена, описывающие взаимодействие носителей с колебаниями решетки: деформационный член, индукционный член и член, связанный с эффектом Стюарта–Толмена. Последний обычно мал и не играет роли. В условиях геликон-фононного резонанса в типичных металлах, который рассматривался в [2], основным было индукционное взаимодействие электронов со звуковой волной. В висмуте же концентрация носителей на пять порядков меньше и основным оказывается деформационное взаимодействие, учетом которого мы и ограничимся. Тогда для монохроматической плоской волны, поле которой описывается функцией  $\exp(i(\mathbf{k}\mathbf{r} - \omega t))$ , где  $\mathbf{k}$  — волновой вектор,  $\omega$  — частота волны, неравновесная часть функции распределения электронов проводимости имеет вид [2]

$$F_1 = \frac{\partial F_0}{\partial \varepsilon_F} \int_{-\infty}^{\tau} d\tau' (eE_\beta v_\beta + \Lambda_{\alpha\beta} \dot{u}_{\alpha\beta}) \Phi(\tau, \tau'), \quad (3)$$

$$\Phi(\tau, \tau') = \frac{1}{\omega_c} \times \exp \left[ \frac{v}{\omega_c} (\tau' - \tau) + i \frac{k_\gamma}{\omega_c} \int_{\tau}^{\tau'} v_\gamma(\tau'') d\tau'' \right], \quad (4)$$

$F_0$  — функция Ферми от аргумента  $(\varepsilon_{\mathbf{p}} - \varepsilon_F)/T$ ,  $\varepsilon_{\mathbf{p}}$  — энергия электрона проводимости с импульсом  $\mathbf{p}$ ,  $\varepsilon_F$  — энергия Ферми,  $T$  — температура в энергетических единицах,  $\omega_c = eH/m_c c$  и  $m_c$  — циклотронная частота и циклотронная масса носителя соответственно,  $e$  — величина заряда электрона,  $\mathbf{v}$  — скорость,  $v$  — частота столкновений с рассеивателями,  $\tau = \omega_c t$  — безразмерное время движения носителя по орбите в магнитном поле,  $\Lambda_{\alpha\beta}$  — тензор деформационного потенциала,  $u_{\alpha\beta} = (\partial u_\alpha / \partial x_\beta + \partial u_\beta / \partial x_\alpha) / 2$  — тензор деформации,

точка сверху означает частную производную по времени  $t$ . Плотность тока  $\mathbf{j}$  и плотность силы  $\mathbf{f}$  определяются следующими формулами [2]:

$$j_\alpha = \sum_j \frac{2e}{(2\pi\hbar)^3} \int v_\alpha F_1 d^3 p,$$

$$f_\alpha = \sum_j \frac{\partial}{\partial x_\beta} \frac{2}{(2\pi\hbar)^3} \int \Lambda_{\alpha\beta} F_1 d^3 p, \quad (5)$$

где  $j$  — номер группы носителей.

Подстановка (3) в (5) дает

$$j_\alpha = j_\alpha^{(c)} + j_\alpha^{(\Lambda)} = \sigma_{\alpha\beta} E_\beta + j_\alpha^{(\Lambda)}, \quad (6)$$

$$f_\alpha = f_\alpha^{(E)} + f_\alpha^{(\Lambda)}, \quad (7)$$

где деформационный ток  $j_\alpha^{(\Lambda)}$  и сила  $f_\alpha^{(E)}$  описываются выражениями

$$j_\alpha^{(\Lambda)} = \sum_j \frac{2e}{(2\pi\hbar)^3} \int d^3 p v_\alpha \frac{\partial F_0}{\partial \varepsilon_F} \int_{-\infty}^{\tau} d\tau' \Lambda_{\gamma\beta} \dot{u}_{\gamma\beta} \Phi(\tau, \tau'), \quad (8)$$

$$f_\alpha^{(E)} = \sum_j \frac{\partial}{\partial x_\beta} \frac{2}{(2\pi\hbar)^3} \times \int d^3 p \Lambda_{\alpha\beta}(\tau) \frac{\partial F_0}{\partial \varepsilon_F} \int_{-\infty}^{\tau} d\tau' e E_\gamma v_\gamma(\tau') \Phi(\tau, \tau'), \quad (9)$$

ток проводимости  $j_\alpha^{(c)}$  определяется выражением, которое получается из (8) в результате замены  $\Lambda_{\alpha\beta} \dot{u}_{\alpha\beta}$  на  $e E_\beta v_\beta(\tau')$ , а  $f_\alpha^{(\Lambda)}$  — выражением, которое получается из (9) в результате замены  $e E_\gamma v_\gamma(\tau')$  на  $\Lambda_{\gamma\delta} \dot{u}_{\gamma\delta}$ .

3. Рассмотрим геликон-фононный резонанс в висмуте в геометрии, когда вектор распространения волны  $\mathbf{k}$  и постоянное магнитное поле  $\mathbf{H}$  направлены вдоль биссекторной оси кристалла ( $\mathbf{k} \parallel \mathbf{H} \parallel z$ ). В этой геометрии максимальные площади сечения всех трех электронных эллипсоидов в плоскости  $xu$ , перпендикулярной вектору  $\mathbf{H}$ , в десятки раз меньше максимальной площади сечения дырочного эллипсоида. В результате циклотронные массы электронов и их максимальные смещения за циклотронный период также оказываются в десятки раз меньше соответствующих величин для дырок. Поэтому существует область  $k$ , в которой длина волны много меньше максимального смещения дырок за циклотронный период, но много больше максимальных смещений электронов. Эта область  $k$  нас и будет интересовать. Для таких  $k$  вклад электронов в  $j_\alpha$  и  $f_\alpha$  хорошо описывается локальным приближением. При этом вклад электронов нужно учитывать только при вычислении тока проводимости  $j_\alpha^{(c)}$ , а электронные вклады в  $j_\alpha^{(\Lambda)}$  и  $f_\alpha$  оказываются пренебрежимо малыми по сравнению с соответствующими дырочными вкладами. Кроме того, в окрестности резонанса слагаемым  $f_\alpha^{(\Lambda)}$

можно пренебречь по сравнению с  $f_\alpha^{(E)}$ . Таким образом, в рассматриваемом случае уравнения (1) и (2) для монохроматических плоских волн принимают вид

$$k^2 c^2 E_\alpha = 4\pi i \omega \sigma_{\alpha\beta} E_\beta = 4\pi i \omega j_\alpha^{(\Lambda)}, \quad (10)$$

$$\rho(-\omega^2 + k^2 s^2) u_\alpha = f_\alpha^{(E)}, \quad \alpha = x, y, \quad (11)$$

где  $s$  — скорость поперечного звука. Как было показано в [1], поле геликона в висмуте вращается по кругу в ту же сторону, что и электроны в магнитном поле (поляризация „минус“). Поэтому от декартовых компонент векторов  $A_\alpha$  удобно перейти к циркулярно поляризованным величинам  $A_\pm = A_x \pm i A_y$ . Тогда уравнение (10), (11) для электромагнитной и звуковой волн записываются в виде

$$(k^2 c^2 - 4\pi i \omega \sigma_-) E_- = 4\pi i \omega j_-^{(\Lambda)}, \quad (12)$$

$$\rho(k^2 s^2 - \omega^2) u_- = f_-^{(E)}, \quad (13)$$

где

$$\sigma_- = \sigma_{xx} - i\sigma_{yx} + \sigma_{yy} + i\sigma_{xy}. \quad (14)$$

Выражение для проводимости  $\sigma_-$  было получено в [1]. В интересующей нас области значений  $k$  оно имеет вид

$$\sigma_- = -i \frac{nec}{H} + \frac{3\pi}{4|q|} \frac{nec}{H}, \quad (15)$$

где

$$q = \frac{kc p}{eH}, \quad (16)$$

$$p = \sqrt{2m_1 \varepsilon_F}, \quad m_1 = 0.54m, \quad \varepsilon_F = 2 \cdot 10^{-14} \text{ erg},$$

$\varepsilon_F$  — энергия Ферми дырок,  $m_1$  — эффективная масса дырок вдоль тригональной оси,  $m$  — масса свободного электрона,  $p$  — величина размерности импульса, которая определяет смещение дырок вдоль магнитного поля за циклотронный период. Первое слагаемое в (15) представляет собой локальную холловскую проводимость, обусловленную электронами, а второе — нелокальную проводимость, обусловленную бесстолкновительным циклотронным поглощением волны дырками. В (15) и далее пренебрегается членами порядка  $v/\omega_c$  и  $\omega/\omega_c$ , которые предполагаются малыми.

4. Для вычисления  $j_-^{(\Lambda)}$  и  $f_-$  необходимо знать зависимость тензора деформационного потенциала  $\Lambda_{\alpha\beta}$  от импульса дырки  $p$ . Рассмотрим модель, в которой

$$\Lambda_{\alpha\beta} = M v_\alpha v_\beta, \quad (18)$$

$$\mathbf{v} = \frac{\partial \varepsilon(\mathbf{p})}{\partial \mathbf{p}}, \quad \varepsilon(\mathbf{p}) = \frac{p_x^2}{2m_1} + \frac{p_y^2 + p_z^2}{2m_2}, \quad (19)$$

$m_2 = 0.06m$  — эффективная масса дырки в базовой плоскости кристалла,  $M$  — константа размерности массы. Величина  $M$  определяется из условия, что деформационный потенциал имеет величину порядка атомной энергии ( $10^{-11}$  erg). Отсюда следует, что  $M$  должна быть порядка  $10^{-24}$  g.

В этой модели свертка  $\Lambda_{\alpha\beta} \dot{u}_{\alpha\beta}$ , входящая в формулу (7) для  $j_-^{(\Lambda)}$ , сводится к выражению

$$\Lambda_{\alpha\beta} \dot{u}_{\alpha\beta} = \omega k M v_z v u = \frac{1}{2} \omega k M v_z (v_+ u_- + v_- u_+), \quad (20)$$

$$v_{\pm} = \frac{1}{2} (v_1 \pm v_2) e^{i\tau} + \frac{1}{2} (v_1 \mp v_2) e^{-i\tau},$$

$$v_1^2 = \frac{2}{m_1} \left( \varepsilon - \frac{p_z^2}{2m_2} \right), \quad v_2^2 = \frac{2}{m_2} \left( \varepsilon - \frac{p_z^2}{2m_2} \right). \quad (21)$$

Подставляя (20), (21) в (8) и учитывая, что

$$\Phi(\tau, \tau') = \frac{1}{\omega_c} \exp \left[ \frac{v + ikv_z}{\omega_c} (\tau' - \tau) \right], \quad (22)$$

$$m_c = \sqrt{m_1 m_2}, \quad d^3 p = m_c d\varepsilon dp_z d\tau,$$

получаем

$$j_-^{(\Lambda)} = \frac{4\pi e}{(2\pi\hbar)^3} \omega k M \int_{-p_F}^{p_F} \left( \varepsilon - \frac{p_z^2}{2m_2} \right) \frac{v_z dp_z}{i(kv_z + \omega_c)} u_-, \quad (23)$$

где  $p_F = \sqrt{2m_2\varepsilon_F}$ . Поскольку мы рассматриваем случай  $q \gg 1$ , слагаемое  $kv_z$  в знаменателе подинтегральной функции в (23) много больше  $\omega_c$  и выражение для  $j_-^{(\Lambda)}$  принимает вид

$$j_-^{(\Lambda)} = -ie \frac{M}{m_c} \omega u_- \frac{4\pi m_c}{(2\pi\hbar)^3} \int_{-p_F}^{p_F} \left( \varepsilon - \frac{p_z^2}{2m_2} \right) dp_z$$

или

$$j_-^{(\Lambda)} = -ine \frac{M}{m_c} \omega u_-, \quad (24)$$

где  $n$  — концентрация дырок.

Аналогичное вычисление силы  $f_-^{(E)}$  дает

$$f_-^{(E)} = ne \frac{M}{m_c} E_-. \quad (25)$$

5. Подставим теперь выражения (15) и (24) в уравнение (12), а выражение (25) — в (13). В результате получаем

$$\left[ k^2 - k_H^2 \left( 1 + i \frac{\kappa}{k} \right) \right] c^2 E_- = 4\pi ne \frac{M}{m_c} \omega^2 u_-, \quad (26)$$

$$(k^2 s^2 - \omega^2) u_- = \frac{1}{\rho} ne \frac{M}{m_c} E_-, \quad (27)$$

$$k_H^2 = \frac{4\pi \omega ne}{cH}, \quad \kappa = \frac{3\pi}{4} \frac{eH}{\rho c}. \quad (28)$$

В приближении  $M \rightarrow 0$ , в котором деформационный ток  $j_-^{(\Lambda)}$ , обусловленный звуковой волной, и электрическая сила  $f_-^{(E)}$ , действующая со стороны носителей на решетку, отсутствуют, электромагнитная и звуковая волны являются независимыми. При этом уравнение (26)

описывает геликонную волну, спектр и затухание которой определяются выражением

$$k = k_H + i \frac{\kappa}{2}, \quad (29)$$

а уравнение (27) — звуковую волну с волновым вектором  $k = \omega/s$ .

При учете деформационного тока  $j_-^{(\Lambda)}$  и силы  $f_-^{(E)}$  колебания электромагнитного и звукового полей оказываются связанными. Кроме величин  $n$  и  $M$  связь волн зависит от того, насколько близки их фазовые скорости. Чем ближе фазовая скорость геликона  $\omega/k_H$  к скорости звука  $s$ , тем в большей мере связаны эти волны. При равенстве скоростей ( $k_H = \omega/s$ ), т.е. при значении магнитного поля  $H = H_0$ , где

$$H_0 = \frac{4\pi ne s^2}{\omega c}, \quad (30)$$

имеет место геликон-фононный резонанс, при котором связь волн является максимальной.

Из (26), (27) следует, что дисперсионное уравнение, определяющее спектр и затухание связанных волн, имеет вид

$$\left[ k^2 - k_H^2 \left( 1 + i \frac{\kappa}{k} \right) \right] \left( \frac{k^2 s^2}{\omega^2} - 1 \right) = \frac{4\pi}{\rho c^2} \left( ne \frac{M}{m_c} \right)^2. \quad (31)$$

Вследствие низкой концентрации носителей  $n$  в висмуте величина в правой части (31) и, следовательно, степень связи волн оказываются малыми. Поэтому спектр волн даже в окрестности резонанса изменяется незначительно. В то же время влияние резонанса сильно сказывается на затухании звуковой волны. Чтобы определить это затухание, достаточно заменить  $k$  в квадратных скобках в (31) на  $\omega/s$ . В результате дисперсионное уравнение для звуковой волны принимает вид

$$k^2 = \frac{\omega^2}{s^2} + \frac{2\eta}{1 - \frac{H_0}{H} - i \left( \frac{\Omega}{\omega} \right)^2}, \quad (32)$$

где  $H_0$  дается формулой (30),

$$\eta = \frac{2\pi}{\rho c^2} \left( ne \frac{M}{m_c} \right)^2, \quad (33)$$

$$\Omega^2 = 3\pi^2 \frac{ne^2 s^3}{\rho c^2}. \quad (34)$$

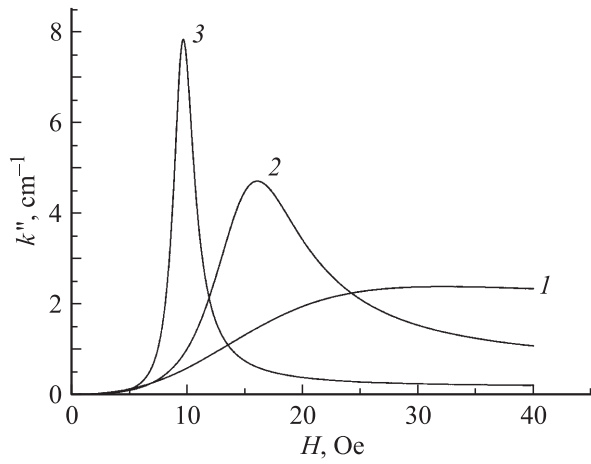
Подстановка значений

$$n = 3 \cdot 10^{17} \text{ cm}^{-3}, \quad s = 10^5 \text{ cm/s}, \quad p = 5 \cdot 10^{-21} \text{ g} \cdot \text{cm/s}$$

в (34) дает для  $\Omega$  величину порядка  $2 \cdot 10^7 \text{ rad/s}$ . Эта величина определяет нижнюю границу частотного диапазона, в котором имеет место геликон-фононный резонанс в висмуте.

Из (32) следует, что затухание звуковой волны  $k'' \equiv \text{Im } k$  определяется формулой

$$k'' = \frac{s\eta}{\omega} \left( \frac{\Omega}{\omega} \right)^2 \left[ \left( 1 - \frac{H_0}{H} \right)^2 + \left( \frac{\Omega}{\omega} \right)^4 \right]^{-1}. \quad (35)$$



Графики зависимости затухания звуковой волны от поля  $H$  при частотах 3 (1), 6 (2) и 10 МГц (3).

На рисунке приведены результаты расчета зависимости  $k''$  от  $H$  для частоты  $\omega/2\pi = 3$  (кривая 1), 6 (кривая 2) и 10 МГц (кривая 3). Видно, что при частоте 3 МГц резонанс практически не проявляется, но при частотах 6 и 10 МГц он хорошо выражен: кривые 2 и 3 имеют резонансные максимумы при  $H = 16$  и 10 Ое соответственно.

## Список литературы

- [1] В.Г. Скобов, А.С. Чернов. ФТТ **45**, 10, 1770 (2003).
- [2] В.Г. Скобов, Э.А. Канер. ЖЭТФ **46**, 1, 273 (1964).